

第 9 章 平面图及图的着色问题

平面图是一类重要的图，应用非常广泛，例如集成电路的设计就需要用到平面图的相关理论。与平面图有密切关系的一个图论应用问题是图的着色，包括顶点着色、边着色和面着色，研究图的着色有着重要的实际意义。本章将集中讨论平面图和图的着色这两个问题。

9.1 基本概念

9.1.1 平面图与非平面图

假设 $A \sim F$ 表示 6 个村庄，要在这些村庄之间修筑如图 9.1(a)所示的路，且使得任何两条路都不交叉，能找到满足条件的方案吗？答案是不可能的，无论怎么画(如图 9.1(b)所示)，总是有边相交。而图 9.1(c)所示的无向图表面上存在相交的边，但可以把它改画成图 9.1(d)，这样就不存在相交的边了。

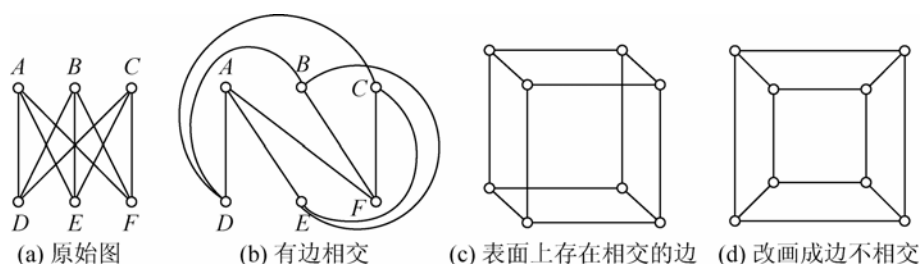


图 9.1 平面图与非平面图

平面图(Planar Graph): 设一个无向图为 $G(V, E)$ ，如果能把它画在平面上，且除 V 中的顶点外，任意两条边均不相交，则称该图为平面图。对平面图 G ，画出其无边相交的图，称为 G 的**平面嵌入(Planar Embedding)**。无平面嵌入的图称为**非平面图(Nonplanar Graph)**。

图 9.2(a)所示的四阶完全图 K_4 ，存在两条相交的边，但可以将这两条相交的边改画成不相交，因此 K_4 是平面图。

又如 9.2(c)是从 K_5 中去掉了一条边，对其中相交的边可以改画成不相交，如图 9.2(d)所示，因此该图也是平面图。

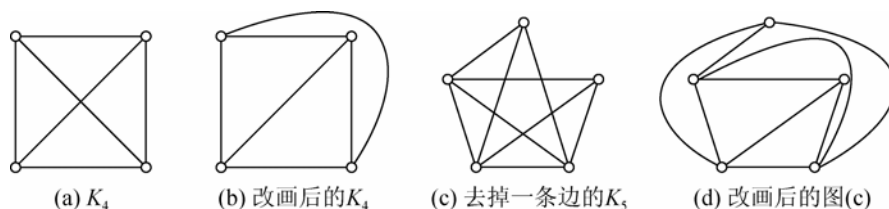


图 9.2 平面图

完全二部图 $K_{1,n}(n \geq 1)$ 和 $K_{2,n}(n \geq 2)$ 都是平面图, 如图 9.3(a)、9.3(b) 和 9.3(c) 所示。其中, 图 9.3(a) 中 $K_{1,n}$ 的标准画法已经是平面嵌入了, 图 9.3(b) 左图所示的 $K_{2,n}$ 不是平面嵌入, 但可以改画成右图所示的平面嵌入画法, 图 9.3(c) 所示的 $K_{3,n}$ 同样可以改画成平面嵌入画法。

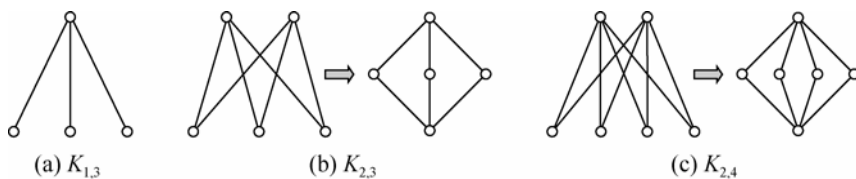


图 9.3 $K_{1,n}$ 和 $K_{2,n}$ 都是平面图

现在可以提前指出的是, 在研究平面图理论中居重要地位的两个图 K_5 和 $K_{3,3}$, 如图 9.4 所示, 都是非平面图。

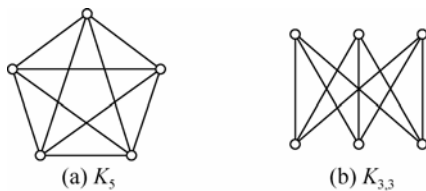


图 9.4 K_5 和 $K_{3,3}$ 都是非平面图

9.1.2 区域与边界

一个平面图将平面划分成若干个部分, 每个部分称为一个区域。下面给出区域的严格定义。

区域(Region): 设 G 为一平面图(且已经是平面嵌入), 若由 G 的一条或多条边所界定的范围内不含图 G 的顶点和边, 则该范围内的平面部分称为 G 的一个区域(也称为面, Face), 记为 R 。一个平面图所划分的区域中, 总有一个区域是无界的, 该区域称为**外部区域(Exterior Region)**, 通常记为 R_0 。其他区域称为**内部区域(Interior Region)**。

区域个数: 将平面图所划分的平面区域个数简称为平面图的区域个数, 并用 r 表示。

例如, 图 9.5(a) 所示的平面图, 将平面分成 6 个区域, 如图 9.5(b) 所示, 因此, 该平面图的区域个数 $r = 6$ 。其中 R_0 为外部区域, $R_1 \sim R_5$ 为内部区域。

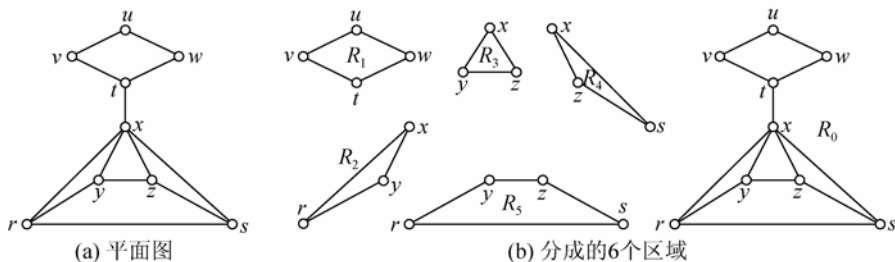


图 9.5 区域与边界

边界(Boundary): 在一个平面图中, 顶点和边都与某个区域 R 关联的子图称为 R 的边界。边界实际上是平面图的一个回路, 但不一定是圈(即简单回路)。

区域的度数: 区域 R 的边界中, 边的个数称为区域 R 的度数, 记为 $\deg(R)$ 。

图 9.5(b)所示的区域 R_1 的边界为圈: (u, v, t, w, u) , R_1 的度数为 4; 外部区域 R_0 的边界为回路: $(u, v, t, x, r, s, x, t, w, u)$, 它不是一个圈, 因为顶点 t 和 x 重复了, R_0 的度数为 9。

9.1.3 极大平面图与极小非平面图

极大平面图: 设 G 为平面图, 若在 G 的任意不相邻的顶点 u, v 之间加边 (u, v) , 所得图非平面图, 则称 G 为极大平面图。

例如, 图 9.2(c)所示的平面图就是极大平面图, 该图只有一对顶点间没有边, 如果加上这条边, 则在图 9.2(d)中, 无论这条边怎么画, 总是会与某些边相交。加上一条边后, 该图变成了 5 阶完全图 K_5 , 因此 K_5 是一个非平面图。

极小非平面图: 如果在非平面图 G 中任意删除一条边, 所得图非平面图, 则称 G 为极小非平面图。

例如, 在 5 阶完全图 K_5 中, 任意删除一条边后, 都是平面图, 因此 K_5 就是一个极小非平面图。

9.1.4 平面图的对偶图

设 G 是平面图, 且已经是平面嵌入了, 按照如下方式构造图 G^* , 称 G^* 为图 G 的**对偶图**(Dual Graph)。

(1) 在 G 的区域 R_i 中放置 G^* 的顶点 v_i^* 。

(2) 设 $e \in E(G)$, 若 e 是 G 的区域 R_i 和 R_j 的公共边界, 则在 G^* 中, 顶点 v_i^* 和 v_j^* 之间有一条边, 记为 e^* , e^* 与 e 相交, 且 e^* 不与图 G 中其他边相交。

(3) 若 e 为 G 中的桥, 且为区域 R_i 的边界, 则在 G^* 的顶点 v_i^* 上, 存在一条从自身环 (v_i^*, v_i^*) 。

例如, 对图 9.6(a)所示的平面图, 构造对偶图的过程和结果分别如图 9.6(b)和 9.6(c)所示。在图 9.6 中, 空心圆圈为平面图 G 中的顶点, 实心圆圈为对偶图 G^* 中的顶点。

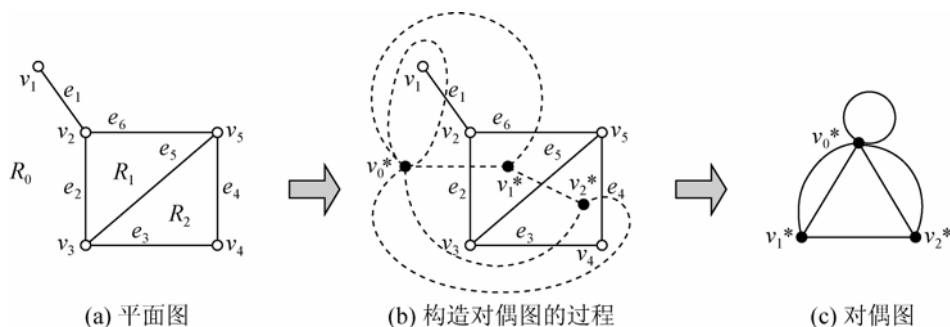


图 9.6 平面图与对偶图

由对偶图的定义不难看出, 平面图 G 的对偶图 G^* 有以下性质。

- (1) G^* 是平面图, 而且在构造时各条边就互不相交, 即构造时就是其平面嵌入。
- (2) G^* 是连通图。
- (3) 若边 e 为 G 中的环, 则 G^* 与 e 对应的边 e^* 为桥; 若 e 为桥, 则 G^* 中与 e 对应的

边 e^* 为环。

(4) 在多数情况下, G^* 中含有较多的平行边。

9.1.5 关于平面图的一些定理

关于平面图, 有如下一些定理(证明略)。

定理 9.1 若图 G 是平面图, 则 G 的任何子图都是平面图。

定理 9.2 若图 G 是平面图, 则在 G 中加平行边和自身环后得到的图还是平面图。

定理 9.3 平面图 G 中所有区域的度数之和等于边数 m 的两倍, 即:

$$\sum_i \deg(R_i) = 2 \times m. \quad (9-1)$$

定理 9.4 设 G 为 n ($n \geq 3$) 阶简单连通的平面图, G 为极大平面图, 当且仅当 G 的每个区域的度数均为 3。

根据定理 9.4 可以判定图 9.7(a) 和 9.7(b) 为一般平面图, 图 9.7(c) 为极大平面图。

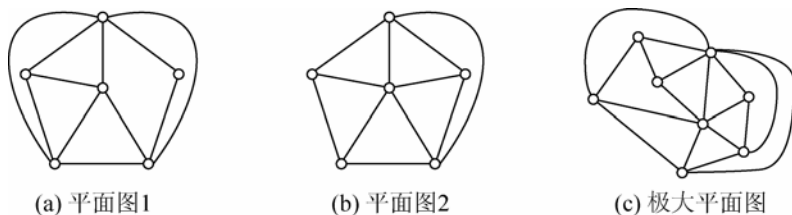


图 9.7 平面图与极大平面图

平面图 G 与它的对偶图 G^* 的顶点数, 边数和区域数有如下定理给出的关系。

定理 9.5 设 G^* 是连通平面图 G 的对偶图, n^* 、 m^* 、 r^* 和 n 、 m 、 r 分别为 G^* 和 G 的顶点数、边数和面数, 则有: ① $n^* = r$, $m^* = m$; ② $r^* = n$; ③ 设 G^* 的顶点 v_i^* 位于 G 的区域 R_i 中, 则 $\deg(v_i^*) = \deg(R_i)$, 即对偶图中顶点 v_i^* 的度数等于平面图中区域 R_i 的度数。

9.2 欧拉公式及其应用

9.2.1 欧拉公式

欧拉在研究凸多面体时发现: 凸多面体顶点数减去棱数加上面数等于 2。图 9.8 分别画出了正四面体、正六面体、正八面体和正十二面体。以正十二面体为例, 其顶点(即棱角)数为 20, 棱数为 30, 面数为 12, 即: $20 - 30 + 12 = 2$ 。

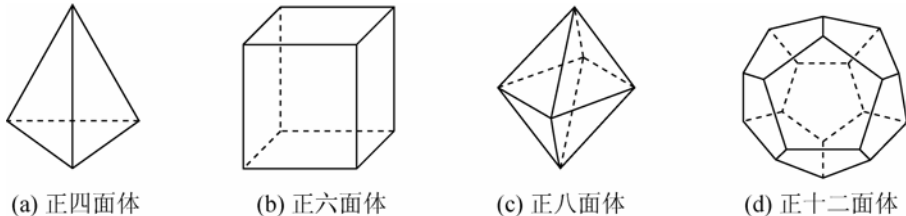


图 9.8 正多面体

后来欧拉又发现：连通平面图的阶数、边数、区域个数之间也存在同样的关系。这就是欧拉公式。

定理 9.6(欧拉公式) 如果 G 是一个阶为 n 、边数为 m 且含有 r 个区域的连通平面图，则有恒等式：

$$n - m + r = 2. \quad (9-2)$$

例如，对于图 9.5(a)所示的连通平面图，其阶为 9，边数为 13，含有 6 个区域，则： $9 - 13 + 6 = 2$ 。

定理 9.7(欧拉公式的推广) 对于具有 $k(k \geq 2)$ 个连通分支的平面图 G ，有： $n - m + r = k + 1$ 。其中， n 、 m 、 r 分别为 G 的阶数、边数和区域数。

9.2.2 欧拉公式的应用

以下通过一道 ACM/ICPC 试题的分析，详细介绍欧拉公式的应用。

例 9.1 美好的欧拉回路(That Nice Euler Circuit)

题目来源：

Asia 2004, Shanghai (Mainland China), ZOJ2394, POJ2284

题目描述：

Joey 发明了一种名为欧拉(为了纪念伟大的数学家欧拉)的画图机器。在 Joey 上小学时，他知道了欧拉是从一个著名的问题开始研究图。这个问题是在一张纸上一笔画出一个图形(笔尖不离开纸面)，并且笔尖要回到起点。欧拉证明了当且仅当画出的平面图形具备以下两个属性，才能按照要求画出这种图形：① 图形是连通的；② 每个顶点度数为偶数。

Joey 的欧拉机器也是这样工作的。机器中包含了一支与纸面接触的铅笔，机器的控制中心发出一系列指令指示铅笔如何画图。纸面可以看成是无限的二维平面，也就是说不必担心笔尖会超出边界。

开始画图时，机器发出一条指令，格式为 (X_0, Y_0) ，这意味着铅笔将移动到起点 (X_0, Y_0) 。接下来的每条指令的格式均为 (X', Y') ，表示铅笔将从当前位置移动到新位置 (X', Y') ，从而在纸面上画出一条线段。新位置与前面每条指令中的位置都不相同。最后，欧拉机器总是发出一条指令，将铅笔移动到起点 (X_0, Y_0) 。另外，欧拉机器画出来的线绝不会重叠，但有可能会相交。

当所有指令发布并执行后，在纸上已经画出一个完美的图形，由于笔尖没有离开纸面，画出来的图形可以看成是一个欧拉回路。

试计算这个欧拉回路将平面分成了多少个区域。

输入描述：

输入文件中至多包含 25 个测试数据。每个测试数据的第 1 行为一个整数 N ， $N \geq 4$ ，表示测试数据中指令的数目；接下来有 N 对整数，每对整数占一行，用空格隔开，表示每条指令中的位置；第 1 对整数为起点位置。假定每个测试数据中指令的数目不超过 300，所有位置的坐标范围在 $(-300, 300)$ 。 $N = 0$ 表示输入结束。

输出描述：

对每个测试数据，输出一行，格式为：

"Case x: There are w pieces."

其中 x 为测试数据的序号, 从 1 开始计起。

样例输入:

```
5
0 0 0 1 1 1 1 0 0 0
7
1 1 1 5 2 1 2 5 5 1 3 5 1 1
0
```

样例输出:

```
Case 1: There are 2 pieces.
Case 2: There are 5 pieces.
```

注意: 样例输入所描述的两个例子如图 9.9 所示。

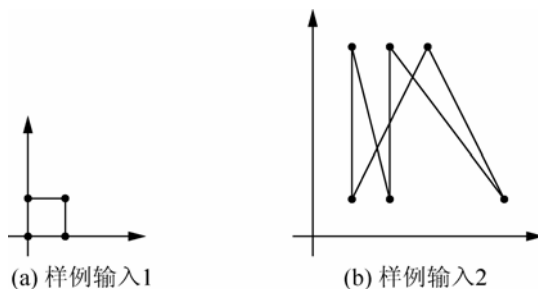


图 9.9 美好的欧拉回路

分析:

本题要根据平面图的欧拉定理 “ $n - m + r = 2$ ” 来求解区域个数 r 。

顶点个数的计算: 两两线段求交点, 每个交点都是图中的顶点。

边数的计算: 在求交点时判断每个交点落在几条边上, 如果一个交点落在一条边上, 这条边就分裂成两条边, 边数加 1。

求得顶点个数和边数后, 根据欧拉定理即可求得区域个数。

代码如下:

```
#define EP 1e-10
#define MAXN 90000
struct Point          //点
{
    double x, y;
    Point( double a=0, double b=0 ){ x=a; y=b; }
};
struct LineSegment    //线段
{
    Point s, e;
    LineSegment( Point a, Point b ) { s=a; e=b; }
};
struct Line            //直线
{
    double a, b, c;
};
bool operator<( Point p1, Point p2 )
{
    return p1.x<p2.x || p1.x==p2.x && p1.y<p2.y;
}
```

```

bool operator==( Point p1, Point p2 )
{
    return abs( p1.x-p2.x )<EP && abs( p1.y-p2.y )<EP;
}
bool Online( LineSegment l, Point p ) //判断点是否在线段上
{
    return abs( ( l.e.x-l.s.x )*( p.y-l.s.y )-( p.x-l.s.x )*( l.e.y-l.s.y ) )
<EP&&( p.x-l.s.x )*( p.x-l.e.x )<EP&&( p.y-l.s.y )*( p.y-l.e.y )<EP;
}
Line MakeLine( Point p1, Point p2 ) //将线段延长为直线
{
    Line l;
    l.a=( p2.y>p1.y )?p2.y-p1.y:p1.y-p2.y;
    l.b=( p2.y>p1.y )?p1.x-p2.x:p2.x-p1.x;
    l.c=( p2.y>p1.y )?p1.y*p2.x-p1.x*p2.y:p1.x*p2.y-p1.y*p2.x;
    return l; //返回直线
}
bool LineIntersect( Line l1, Line l2, Point &p )//判断直线是否相交,并求交点p
{
    double d=l1.a * l2.b-l2.a*l1.b;
    if( abs( d ) < EP ) return false;
    //求交点
    p.x=( l2.c*l1.b-l1.c*l2.b )/d;
    p.y=( l2.a*l1.c-l1.a*l2.c )/d;
    return true;
}
//判断线段是否相交
bool LineSegmentIntersect( LineSegment l1, LineSegment l2, Point &p )
{
    Line a, b;
    a=MakeLine( l1.s, l1.e ), b=MakeLine( l2.s, l2.e ); //将线段延长为直线
    if( LineIntersect( a, b, p ) ) //如果直线相交
        //判断直线交点是否在线段上,是则线段相交
        return Online( l1, p ) && Online( l2, p );
    else return false;
}
Point p[MAXN], Intersection[MAXN];
int N, m, n;
int main( )
{
    int i, j, Case=1;
    while( scanf( "%d", &N ) && N != 0 )
    {
        m=0, n=0;
        for( i=0; i<N; i++ )scanf( "%lf%lf", &p[i].x, &p[i].y );//输入数据
        for( i=0; i<N; i++ )
        {
            for( j=0; j<N; j++ )
            {
                LineSegment l1(p[i],p[(i+1)%N]), l2(p[j], p[(j+1)%N]);
                Point p;
            }
        }
    }
}

```

```

        if( LineSegmentIntersect( l1, l2, p ) )
            Intersection[n++]=p;          //记录交点
    }
}
sort( Intersection, Intersection+n );    //排序
//unique 移除重复点,求得 n
n=unique( Intersection, Intersection+n )-Intersection;
for( i=0; i<n; i++ )
{
    for( j=0; j<N; j++ )
    {
        LineSegment t( p[j], p[( j+1 ) % N] );
        //若有交点落在边上,则该边分裂成两条边
        if(Online(t,Intersection[i])&&!(t.s==Intersection[i]))m++;
    }
}
//输出欧拉定理的结果
printf( "Case %d: There are %d pieces.\n", Case++, 2+m-n );
}
return 0;
}

```

练 习

9.1 圆(Circles)

题目来源:

Amdrew Stankvich's Contest #5, IOJ2589

题目描述:

考虑平面上 N 个不同的圆, 它们将平面分成若干个部分。试计算这些圆将平面分成了几个部分。

输入描述:

输入文件中包含了多个测试数据。输入文件的第 1 行为一个整数 T , $1 \leq T \leq 20$, 表示测试数据的数目。接下来是 T 个测试数据, 测试数据间用空行隔开。每个测试数据的第 1 行为一个整数 N , $1 \leq N \leq 50$, 表示圆的个数, 接下来有 N 行, 每行为 3 个整数: x_0, y_0, r , 分别表示圆心坐标和圆的半径。所有坐标位置的绝对值不超过 10^3 , 半径为整数, 且不超过 10^3 。任何两个圆都不会重合。

输出描述:

对每个测试数据, 输出一行, 为一个整数 K , 表示这 N 个圆将平面分成了 K 个区域。

注意: 由于浮点数精度的原因, 在计算时不考虑面积小于 10^{-10} 的区域。

样例输入:

```

2
2
0 0 3
0 0 2

```

样例输出:

```

3
3

```


2
0 0 1
2 0 1

9.3 平面图的判定

本节介绍判定一个图是否为平面图的一些结论和定理。

定理 9.8 如果 G 是一个阶 $n \geq 3$, 边数为 m 的平面图, 则 $m \leq 3n - 6$ 。证明略。

该定理给出了一个图是平面图的必要条件。从另一个角度看, 这也是一个图是非平面图的充分条件。因此, 可以得到定理 9.8 的逆否命题:

推论 1 如果 G 是一个阶 $n \geq 3$, 边数为 $m > 3n - 6$ 的图, 则图 G 是非平面图。

根据此推论, 可以判定图 9.10(a)和 9.10(b)都是非平面图。其中, 在图 9.10(a)中, 顶点数 $n = 7$, 边数 $m = 16 > 3 \times 7 - 6$; 在图 9.10(b)中, 顶点数 $n = 6$, 边数 $m = 13 > 3 \times 6 - 6$ 。

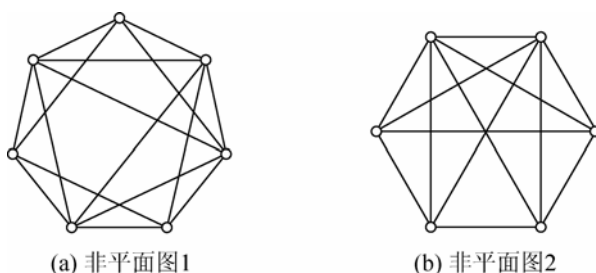


图 9.10 非平面图

从定理 9.8 还可以得到以下推论。

推论 2 每个平面图含有一个度小于或等于 5 的顶点。

推论 3 5 阶完全图 K_5 是非平面图。(实际上, 5 阶以上的完全图都是非平面图。)

注意定理 9.8 中的条件并不是充分条件, 例如对 $K_{3,3}$ 来说, 由于有 6 个顶点、9 条边, 因此 $3 \times 6 - 6 \geq 9$, 即满足 $3n - 6 \geq m$, 但可以证明 $K_{3,3}$ 是非平面图(其证明详见其他图论教材, 从图 9.1(b)也可以直观地看出来, 对 $K_{3,3}$ 来说, 无论怎么画都存在相交的边)。

K_5 和 $K_{3,3}$ 不是平面图这个结论可以用来判定任何一个图是否是平面图, 这就是下面将要介绍的 Kuratowski 定理和 Wagner 定理。

在图 9.11 中, 可以看到, 在给定图 G 的边上, 插入一个新的度数为 2 的顶点, 使一条边分成两条边(如图 9.11(a)和图 9.11(c)所示); 或者对于关联于一个度数为 2 的顶点的两条边, 去掉这个顶点, 使两条边化成一条边(如图 9.11(b)和图 9.11(d)所示), 这些都不会影响图的平面性。

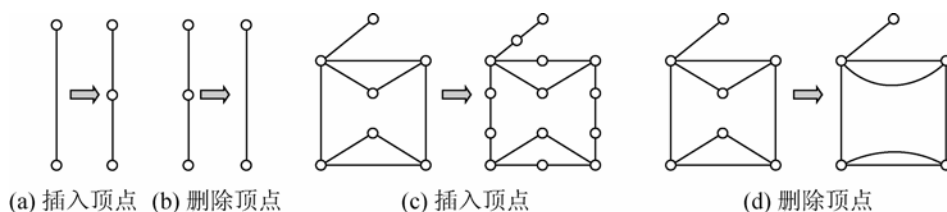


图 9.11 2 度顶点内同构的图

2度顶点内同构: 给定两个图 G_1 和 G_2 , 如果它们是同构的, 或者可以通过反复插入和(或)去掉度数为 2 的顶点后, 使得 G_1 和 G_2 同构, 则称 G_1 和 G_2 是在 2 度顶点内同构的。

定理 9.9(Kuratowski 定理) 一个图是平面图, 当且仅当它不包含与 $K_{3,3}$ 或 K_5 在 2 度结点内同构的子图。

$K_{3,3}$ 和 K_5 常被称作**库拉托夫斯基(Kuratowski)**图。

另外, 还可以通过收缩边来判定一个图是否是平面图。

收缩: 设 e 是图 G 的一条边, 从 G 中删去 e 并将 e 的两个顶点合并, 删去由此得到的环边和平行边, 这个过程称为边 e 的收缩。若图 G_1 可通过一系列边的收得到与 G_2 同构的图, 则称 G_1 可以收缩到 G_2 。注意, 收缩边 e 并不要求 e 的两个顶点的度数为 2。

定理 9.10(Wagner 定理) 图 G 是平面图, 当且仅当 G 中既没有可收缩到 K_5 的子图, 也没有可收缩到 $K_{3,3}$ 的子图。

彼得森图(Peterson), 如图 9.12 所示可收缩到 K_5 , 如在 9.12(a)中, 将粗线边收缩, 则彼得森图变成了 K_5 。因此, 根据 Wagner 定理, 可以判定彼得森图为非平面图。

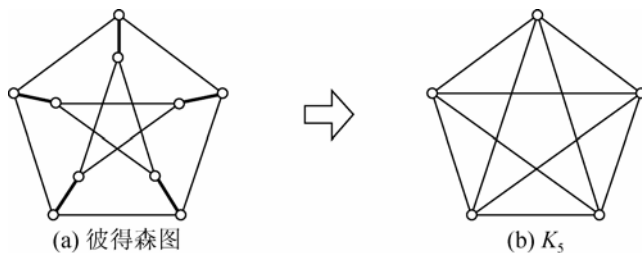


图 9.12 彼得森图可以收缩成 K_5

9.4 图的着色问题

9.4.1 地图染色与四色猜想

与平面图有密切关系的一个图论应用问题是图的着色。图的**着色问题**起源于地图染色问题和四色猜想。例如, 对图 9.13 所示的美国地图, 要给每个州染色, 使得任何两个相邻的州颜色均不同。与 S_1 相邻的州有 $S_2 \sim S_7$, 要使得这 7 个州中任何两个相邻的州颜色均不同, 至少需要使用 3 种颜色。图 9.13 给出了一个用 3 种颜色染色的方案: S_1 染为红色(r), S_3 、 S_5 、 S_7 染为绿色(g), S_2 、 S_4 、 S_6 染为蓝色(b)。现在的问题是, 要给所有州染色, 使得任何两个相邻的州颜色均不同, 至少需要使用多少种颜色?

这个问题最早是由英国数学家弗南西斯·格思里(Francis Guthrie)于 1852 年提出来的。他发现有些地图能用 3 种颜色完成染色。他也发现, 对所有地图, 4 种颜色就足以完成染色, 但他无法证明。此后, “每张地图都能用 4 种或者更少的颜色来染色”这个猜想开始以**四色猜想(Four Color Conjecture)**而闻名, 很多数学家都尝试着去证明它。四色猜想不止一次地被有的数学家宣称证明了, 但又被其他数学家证明是错误的。

1976 年, 美国数学家阿佩尔(Kenneth Appel)与哈肯(Wolfgang Haken)在美国伊利诺斯大学的两台不同的电子计算机上, 用了 1 200 个小时, 作了 100 亿个判断, 终于完成了四色定理的证明, 并在当年的美国数学学会的夏季会议上, 向全世界宣布他们已经证明了四色

猜想。值得一提的是，并不是所有的数学家都满意他们的证明。



图 9.13 地图染色

9.4.2 图的着色

根据着色对象不同，图的着色问题(Coloring Problem)分为顶点着色、边着色、和平面图的面着色。前面介绍的地图着色实际上是平面图的面着色。

1. 顶点着色

图的顶点着色(Vertex Coloring): 给图 G (图 G 中不存在自身环) 的每个顶点指定一种颜色，使得任何两个相邻的顶点颜色均不同。

如果能用 k 种颜色对图 G 进行顶点着色，就称对图 G 进行了 k 着色(k -Coloring)，也称 G 是 k -可着色的(k -Colorable)。若 G 是 k -可着色的，但不是 $(k-1)$ -可着色的，则称 G 是 k 色(k -Colormatic)的图，并称这样的 k 为图 G 的色数(Colormatic Number)，记为 $\chi(G)$ 。所谓图 G 的色数，就是在对图 G 进行顶点着色时所用的最少颜色数。

关于顶点着色有如下一些结论和定理。

定理 9.11 $\chi(G)=1$ ，当且仅当 G 为零图(即边集 $E(G)$ 为空的图)。

定理 9.12 $\chi(K_n)=n$ 。

定理 9.13 奇圈的色数为 3。

定理 9.14 图 G 的色数是 2 当且仅当 G 是一个非空的二部图。

定理 9.15 对任意的图 G (图 G 中不存在自身环)，均有： $\chi(G) \leq \Delta(G)+1$ 。

定理 9.16(Brooks 定理) 设连通图 G 不是完全图 K_n ，也不是奇圈，则 $\chi(G) \leq \Delta(G)$ 。

试计算图 9.14 中各图的色数。

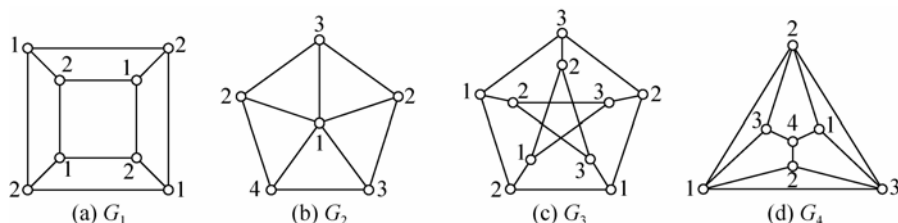


图 9.14 图的顶点着色

由定理 1.3 可知, G_1 实际上是二部图, 而由定理 9.14 可知, $\chi(G_1)=2$ 。 $\chi(G_2)=4$ 。图 G_3 是彼得森图, 由布鲁斯定理可知, $\chi(G_3) \leq \Delta(G_3)=3$, 又因为 G_3 中有奇圈, 所以 $\chi(G_3) \geq 3$, 因此 $\chi(G_3)=3$ 。由布鲁斯定理可知, $\chi(G_4) \leq \Delta(G_4)=4$, 又因为 G_4 中有奇圈, 所以 $\chi(G_4) \geq 3$, 因而 $\chi(G_4)$ 为 3 或 4, 但试着用 3 种颜色去着色, 发现是不可能的, 所以 $\chi(G_4)$ 只能为 4。

2. 边着色

图的**边着色**(Edge Coloring): 给图 G 的每条边指定一种颜色, 使得任何两条相邻的边颜色均不同。

如果能用 k 种颜色对图 G 进行边着色, 就称对图 G 进行了 **k 边着色**(k -Edge Coloring), 也称 G 是 **k -边可着色的**(k -Edge Colorable)。若 G 是 k -边可着色的, 但不是 $(k-1)$ -边可着色的, 则称 G 是 **k 边色**(k -Edge Colormatic)的图, 并称这样的 k 为图 G 的**边色数**(Edge Colormatic Number), 记为 $\chi_1(G)$ 。所谓图 G 的边色数, 就是在对图 G 进行边着色时所用的最少颜色数。

关于边着色有如下一些结论和定理。

定理 9.17(Vizing 定理) 对于任何一个非空简单图 G , 都有:

$$\chi_1(G) = \Delta(G), \text{ 或者 } \chi_1(G) = \Delta(G) + 1.$$

维津(Vizing)定理说明, 对简单图 G 来说, 它的边色数 $\chi_1(G)$ 为 $\Delta(G)$ 或 $\Delta(G)+1$, 但哪些图的边色数为 $\Delta(G)$, 哪些图的边色数为 $\Delta(G)+1$, 至今还是一个没有解决的问题, 只是对于一些特殊的图有一些结论, 如定理 9.18、9.19。

定理 9.18 设图 G 为长度大于或等于 2 的偶圈, 则 $\chi_1(G) = \Delta(G) = 2$; 设图 G 为长度大于或等于 3 的奇圈, 则 $\chi_1(G) = \Delta(G) + 1 = 3$ 。

定理 9.19 对二部图 G , 有: $\chi_1(G) = \Delta(G)$ 。

试计算图 9.15 中各图的边色数。

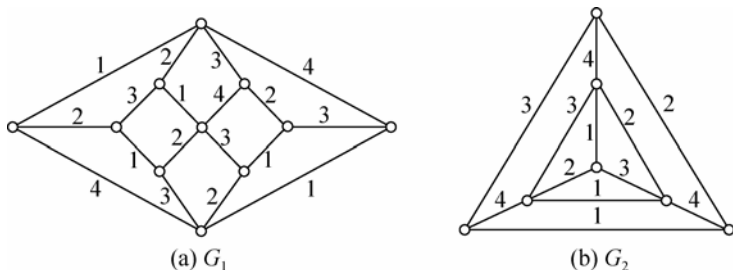


图 9.15 图的边着色

因为 G_1 中无奇数长度的回路, 所以它是二部图, 由定理 9.19 可知, $\chi_1(G_1) = \Delta(G_1) = 4$ 。由维津定理可知, $\chi_1(G_2)$ 为 $\Delta(G_2) = 4$, 或 $\Delta(G_2) + 1 = 5$, 又存在如图 9.15(b)所示的 4 种颜色的边着色, 所以 $\chi_1(G_2) = 4$ 。

3. 地图着色与平面图的面着色

地图实际上是一种平面图: 平面图的区域(即面)代表国家, 边表示国家之间的边界, 顶点则是边界的交汇处。例如, 对图 9.16(a)所示的地图, 在国家边界的每个交汇处放置一个顶点, 对国家之间的每条边界用直线或曲线将对应的顶点连起来, 就得到图 9.16(b)所示的平面图。

对平面图 G 来说, 它将平面分成 r 个区域(即面), 现在对每个区域染色, 使得有公共边的区域颜色均不同, 这种染色称为平面图的面着色(Face Coloring)。如果能用 k 种颜色给平面图 G 进行面着色, 则称 G 是 k -面可着色的(k -Face Colorable), 在进行面着色时, 所用最少颜色数称为平面图的面色数(face Colormatic Number), 记为 $\chi^*(G)$ 。

平面图的面着色可以转换成其对偶图的顶点着色, 依据是下面的定理 9.20。

定理 9.20 平面图 G 是 k -面可着色的, 当且仅当它的对偶图 G^* 是 k 色的图。

例如, 对图 9.16(b)所示的平面图转换成其对偶图的过程和结果分别如图 9.16(c)和图 9.16(d)所示。在图 9.16(d)中, 因为存在奇圈, 所以 $\chi(G) \geq 3$, 并且因为 $\Delta(G)=3$, 根据定理 9.5, 可知 $\chi(G)=4$ 。图 9.16(d)给出了用 4 种颜色着色的方案, 图 9.16(e)在对应的地图上用红色(r)、绿色(g)、蓝色(b)和黄色(y)4 种颜色进行着色。

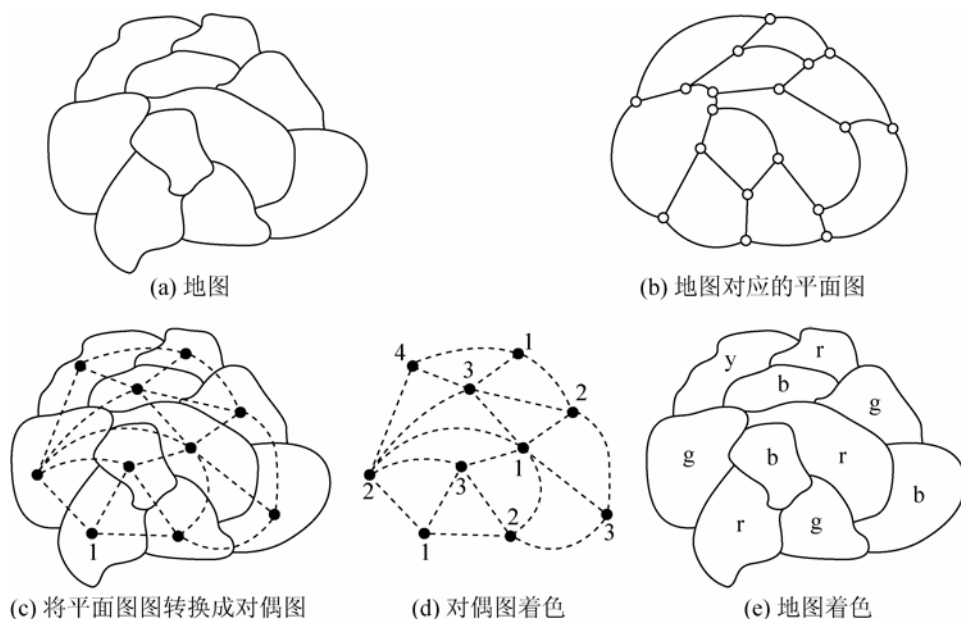


图 9.16 地图着色与对偶图顶点着色

4. 平面图面着色与四色猜想

前面已经提到过四色猜想, 此处对四色猜想进一步描述。

四色猜想: 连通简单平面图的颜色不超过 4。

这个猜想于 1976 年由 Appel 和 Haken 宣称证明了, 当然, 不是所有的数学家都满意他们的证明。事实上, 大部分数学家都持很高的怀疑态度, 并对这个证明很不满意。这引起了关于“什么是数学证明”的许多讨论。

尽管现在四色猜想还没有被完全证明, 但已经能确定的是: 连通简单平面图的颜色不超过 5, 即以下的五色定理。

定理 9.21(五色定理) 连通简单平面图 G 的颜色不超过 5。

9.4.3 图着色的应用

图着色有着丰富的应用, 第 7 章的例 7.3(化学药品存放)和例 7.4(交通信号灯设计)实际

上就是求图的顶点着色。本节再举一个例子。

例 9.2 考试安排问题——图的顶点着色

某高校有 n 门选修课需要进行期末考试, 同一个学生可能选修了多门课程, 但他不能在同一时间段参加两门课程的考试。问该校的期末考试至少需要安排几个时间段。

例如, 假设需要安排 7 门课程的期末考试, 课程编号为 1~7, 已知以下课程之间有公共的学生选修: (1, 2)、(1, 3)、(1, 4)、(1, 7)、(2, 3)、(2, 4)、(2, 5)、(2, 7)、(3, 4)、(3, 6)、(3, 7)、(4, 5)、(4, 6)、(5, 6)、(5, 7)、(6, 7)。

很显然, 可以以课程为顶点来构图, 如果两门课程之间有公共学生选修, 则在这两门课程之间连边。构造好的图如图 9.17 所示, 问题转换成求图的顶点着色, 每种颜色的顶点安排在同一个时间段考试。该图的色数为 4, 因此需要安排 4 个时间段: I—课程 1, II—课程 2、6, III—课程 3、5, IV—课程 4、7。

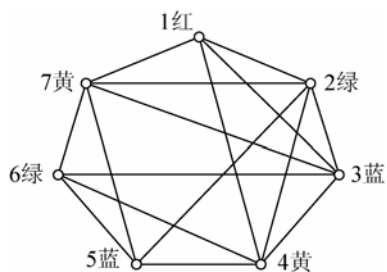


图 9.17 考试安排问题

9.4.4 图着色求解算法及例题解析

需要说明的是, 尽管有很多定理来判定图的色数、边色数, 但求图的色数、边色数以及具体的着色方案并没有有效的算法。本节介绍一种求 $\chi(G)$ 的近似有效算法——**顺序着色算法**。

设图 G 的顶点数为 n , 要求对图 G 进行顶点着色, 步骤如下。

- (1) 用 i 表示顶点序号, $i = 1$ 。
- (2) 用 c 表示给顶点 i 着色为第 c 种颜色, $c = 1$;
- (3) 对第 i 个顶点着色: 考虑它的每个邻接顶点, 如果都没有使用第 c 种颜色, 则给顶点 i 着色为第 c 种颜色, 并转第(5)步; 只要有一个顶点使用了第 c 种颜色, 则转第(4)步;
- (4) $c = c + 1$, 并转第(3)步;
- (5) 若还有顶点未着色, 则 $i = i + 1$, 并转向第(2)步, 否则算法结束。

顺序着色算法实际上是采取了一种贪心策略: 在给任何一个顶点着色时, 采用其邻接顶点中没有使用的、编号最小的颜色。

以对图 9.18(a)所示的图 G 进行顶点着色为例解释顺序着色算法的执行过程。在图 9.18(b)中首先给顶点 x_1 着色为第 1 种颜色; 然后在图 9.18(c)中对顶点 x_2 进行着色, 因为它的邻接顶点中已经使用了第 1 种颜色, 所以给 x_2 着色为第 2 种颜色; 在图 9.18(d)中对顶点 x_3 进行着色, 因为它的邻接顶点中没有使用第 1 种颜色, 所以给顶点 x_3 着色为第 1 种颜色; ……; 在图 9.18(h)中, 对最后一个顶点 x_7 进行着色, 它的邻接顶点中, 使用了第 1、3 种颜色, 所以给顶点 x_7 着色为第 2 种颜色, 至此着色完毕, 求得 $\chi(G)=3$, 并求得一个着色方案。

顺序着色算法与顶点的着色顺序有密切的关系, 这就是为什么叫顺序着色算法的原因。例如, 考虑图 9.19(a)所示的二部图, 若按 $x_1, x_2, x_3, x_4, y_1, y_2, y_3, y_4$ 顺序执行该算法, 则只需用两种颜色进行着色, 如图 9.19(b)所示。但如果按 $x_1, y_1, x_2, y_2, x_3, y_3, x_4, y_4$ 顺序执行该算法, 则需用 4 种颜色进行着色, 如图 9.19(c)所示。因此, 顺序着色算法并不一定有效。

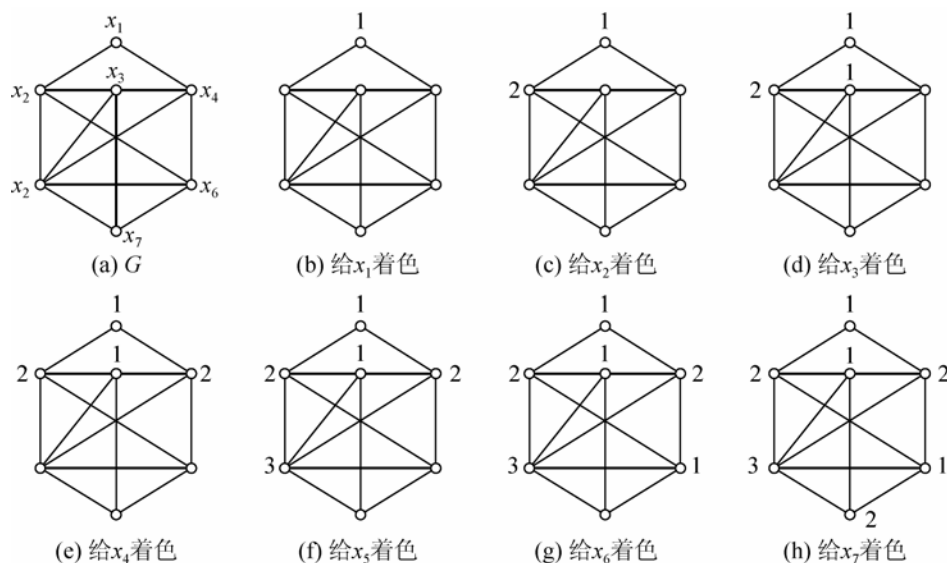


图 9.18 顺序着色算法实现过程

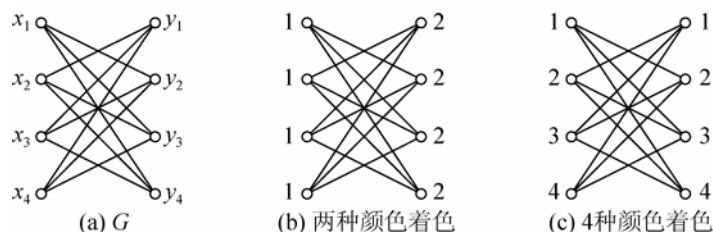


图 9.19 顺序着色算法并不一定有效

接下来通过一道 ACM/ICPC 例题，讲解有关顶点着色问题的求解和顺序着色算法的程序实现。

例 9.3 频道分配(Channel Allocation)

题目来源：

South Africa 2001, ZOJ1084, POJ1129

题目描述：

当一个广播站向一个很广的地区广播时需要使用中继器，用来转发信号，使得接收器都能接收到足够强的信号。然而，每个中继器所使用的频道必须很好地选择，以保证相邻的中继器不会互相干扰。要满足这个条件，相邻中继器必须使用不同的频道。

由于广播频率带宽是一种很宝贵的资源，对于一个给定的中继器网络，所使用频道数量应该尽可能少。编写程序，读入中继器网络的信息，计算需要使用频道的最少数目。

输入描述：

输入文件中包含多个测试数据，每个测试数据描述了一个中继器网络。每个中继器网络的格式如下。

(1) 第 1 行为一个整数 N ，表示中继器的数目， $1 \leq N \leq 26$ ，中继器用前 N 个大写字母表示，例如，假设有 10 个中继器，则这 10 个中继器的名字为 A, B, C, \dots, I 和 J 。

(2) 接下来有 N 行, 描述了这 N 个中继器的相邻关系, 第 1 行描述和中继器 A 相邻的中继器, 第 2 行描述和中继器 B 相邻的中继器; 等等。每行的格式为:

A:BCDH

表示和中继器 A 相邻的中继器有 B 、 C 、 D 和 H (按字母升序排列)。如果一个中继器没有相邻中继器, 则其格式为:

A:

注意: 相邻关系是对称的, A 与 B 相邻, 则 B 也与 A 相邻; 另外, 中继器网络是一个平面图, 即中继器网络所构成的图中不存在相交的边。

输入文件最后一行为 $N=0$, 表示输入结束。

输出描述:

对每个中继器网络, 输出一行, 为该中继器网络所需频道的最小数目。

样例输入:

```
2
A:
B:
6
A:BEF
B:ACF
C:BDF
D:CEF
E:ADF
F:ABCDE
0
```

样例输出:

```
1 channel needed.
4 channels needed.
```

分析:

很明显, 本题要求的是图 G 的色数 $\chi(G)$ 。样例输入中第 2 个测试数据所描述的中继器网络如图 9.20 所示。本题采用前面介绍的顺序着色算法求解, 例如在图 9.20(c)中给顶点 C 着色时, 它的邻接顶点中, 顶点 D 和 F 目前没有着色, 顶点 B 着色为第 1 种颜色, 所以给顶点 C 着色为第 0 种颜色。最终的着色方案如图 9.20(d)所示, 求得的 $\chi(G)$ 为 4。

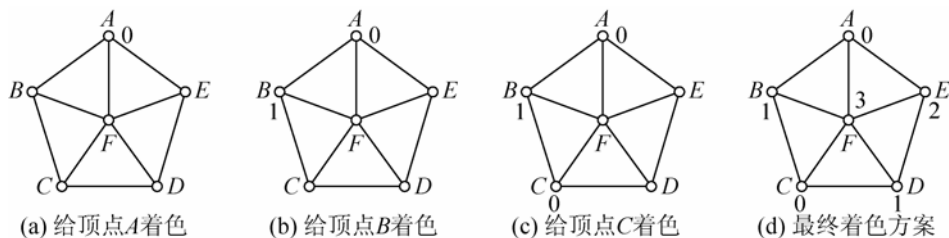


图 9.20 频道分配

代码如下:

```
char s[26];           //读入描述中继器相邻关系的每行字符串
int Edge[26][26];     //邻接矩阵
int n;                //中继器数目
int ans, c[26];       //求得的顶点着色数, 各顶点的颜色
int b[26];            //每种颜色使用的标志, b[i]=1 表示第 i 种颜色已经使用了
void greedy( )
```



```

{
    int i, k;
    for( i=0; i<n; i++ )          //给第 i 个顶点着色
    {
        memset( b, 0, sizeof(b) );
        for( k=0; k<n; k++ )      //检查顶点 i 的每个邻接顶点
        {
            if( Edge[i][k] && c[k]!=-1 ) //邻接顶点 k 已经着色了, 颜色为 c[k]
            {
                b[c[k]]=1;
            }
        }
        for(k=0;k<=i;k++) //k 为顶点 i 的所有邻接顶点中没有使用的、编号最小的颜色
        {
            if(!b[k]) break;
        }
        c[i]=k; //给顶点 i 着色为第 k 种颜色
    }
    for( i=0; i<n; i++ )
    {
        if( ans<c[i] ) ans=c[i];
    }
    ans++;
}
int main()
{
    int i, k;
    while( 1 )
    {
        scanf("%d", &n);
        if( n==0 ) break;
        memset( Edge, 0, sizeof(Edge) );
        for( i=0; i<n; i++ )
            c[i]=-1;
        ans=0;
        for( i=0; i<n; i++ )
        {
            scanf( "%s", &s );
            int m=strlen(s)-2; //与第 i 个中继器相邻的中继器数目
            for( k=0; k<m; k++ )
            {
                Edge[i][s[k+2]-'A']=1;
                Edge[s[k+2]-'A'][i]=1;
            }
        }
        greedy( );
        if( ans!=1 ) printf( "%d channels needed.\n", ans );
        else printf( "%d channel needed.\n", ans );
    }
    return 0;
}

```

练 习

9.2 图着色(Graph Coloring)

题目来源:

Southwestern European Regional Contest 1995, POJ1419

题目描述:

编写程序, 实现: 对于一个给定的图, 求其最优着色图。着色时用白色或黑色给图中的顶点着色, 并且任何两个相邻的顶点不能同时为黑色。最优着色图是指黑色顶点数最多的着色图。

在图 9.21 中, 给出一个最优着色的例子, 其中包含了 3 个黑色顶点。

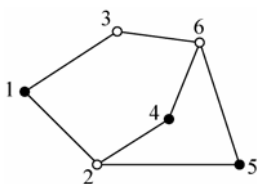


图 9.21 一幅有 3 个黑色顶点的最优着色图

输入描述:

输入文件包含多个测试数据。输入文件第 1 行为整数 m , 表示测试数据个数。每个测试数据描述了一个图, 其格式为: 第 1 行为整数 n 和 k , $n \leq 100$, 分别表示顶点数和边数; 接下来有 k 行, 每行为两个整数, 表示一条边的两个顶点序号, 顶点序号为 $1 \sim n$ 。

输出描述:

对每个测试数据, 输出两行。第 1 行为最优着色图中黑色顶点个数, 第 2 行给出了一个最优着色方案, 输出黑色顶点序号, 用空格隔开。

样例输入:

```
1
6 8
1 2
1 3
2 4
2 5
3 4
3 6
4 6
5 6
```

样例输出:

```
3
1 4 5
```

9.3 着色问题(Coloration Problem)

题目来源:

Regional Contest Shang Hai, 2000, UVA2029

题目描述:

Richard 是一个数学爱好者, 目前正在上海度假。他对他的研究是如此的狂热, 以至于他总是把所有的事情都和数学问题联系起来。昨天黄昏, 他在广场散步时, 广场上铺设的

地板砖让他产生了灵感，想起了一道组合题目。

地板砖是一个等边三角形，边长为 1 米。如果把 4 块砖放在一起，可得到一个边长为 2 的大三角形。Richard 把 4 块砖编号为 1、2、3 和 4(如图 9.22(a)所示)，然后用红、绿、蓝 3 种颜色给每块砖涂上颜色。由于相同的颜色连在一起会比较难看，所以他觉得任意两块有公共边的三角砖都不能涂上相同的颜色。他很快就算出了所有的 24 种着色方案。由于砖是有编号的，所以旋转起来或者对称后看起来一样的方案也被看成是不同的。

如果用更多的三角砖组成更大的大三角形(例如用 9 块砖组成边长为 3 米的，如图 9.22(b)所示；用 16 块砖组成边长为 4 米的，……)，用更多的颜色去着色，方案数是多少？例如用 5 种颜色去给组成边长为 3 米的大三角形中的 9 块砖着色，方案数将会是一个很大的数字。没有计算机，Richard 不能得出最终的结果，尽管他知道如何去计算方案数。所以他要求你编写程序计算准确的方案数。

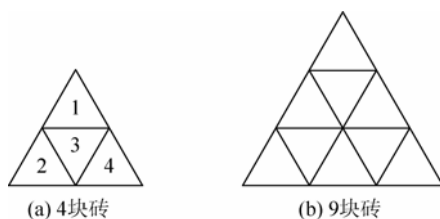


图 9.22 地板砖着色问题

输入描述:

输入文件中包含多个测试数据。每个测试数据占一行，为两个整数 L 和 C ， $0 \leq L \leq 6$ ， $1 \leq C \leq 4$ ， L 表示大三角形的边长， C 表示使用的颜色数。 $L = 0$ 表示输入结束。

输出描述:

对每个测试数据，计算并输出着色的方案数，要求任何两个相邻小三角砖颜色不一样。如果给定的颜色数不足以按要求着色，输出 0。

样例输入:

```
2 3
6 4
0 0
```

样例输出:

```
24
3470494144278528
```